

ΑΝΑΚΟΙΝΩΣΙΣ ΜΗ ΜΕΛΟΥΣ

ΠΕΤΡΟΛΟΓΙΑ. — Ἰστολογικαὶ ἔρευναι καὶ ἔξετασις τῶν συνθηκῶν γενέσεως τῶν μετὰ νατριούχων ἀμφιβόλων μαρμαρυγιακῶν σχιστολίθων, τῆς δυτικῶς τῆς Μονεμβασίας μεταμορφωθείσης περιοχῆς, ὑπὸ Γεωργίου Παρασκευοπούλου*. Ἀνεκοινώθη ὑπὸ τοῦ κ. Μ. Μητσοπούλου.

I. ΓΕΝΙΚΑΙ ΠΑΡΑΤΗΡΗΣΕΙΣ

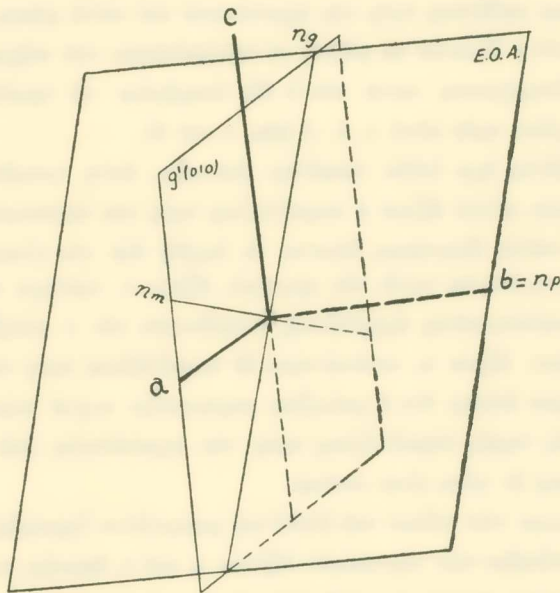
Τὰ κύρια ὄρυκτολογικὰ συστατικὰ τῶν μελετηθέντων μαρμαρυγιακῶν σχιστολίθων εἰναι χαλαζίας, μοσχοβίτης, ἀλμανδίνης, γλαυκοφανῆς καὶ μονοκλινεῖς κυανοπράσινοι ἰωδίζουσαι ἀλκαλιοῦχοι ἀμφίβολοι, ὡς ἐπουσιώδη δὲ συστατικὰ διακρίνονται τουρμαλίνης, ἀπατίτης, ρουτίλιον, ὁξείδια Fe, γραφιτοποιημέναι ἀνθρακοῦχοι οὖσαι καὶ δευτερογενής χλωρίτης προελθόντες ἐκ τῶν ἀμφιβόλων ἐν γένει.

Εἰδικώτερον διὰ τὰς κυανοπρασίνας νατριούχους ἀμφιβόλους, ἀναφέρομεν ὅτι παρουσιάζουν ἐνίστε κανονικὰς συμφύσεις μετὰ τοῦ γλαυκοφανοῦς καθὼς καὶ ὅτι φαίνεται νὰ λαμβάνουν χώραν μετατροπαὶ μεταξὺ αὐτῶν καὶ τοῦ γλαυκοφανοῦς (εἰκ. 3). Ἐπειδὴ δὲν κατέστη δυνατὸν νὰ λάβωμεν μίαν πλήρη χημικὴν ἀνάλυσιν τῶν κυανοπρασίνων ἀμφιβόλων, τῶν ἐμφανίσεών των εἰς τὰ συλλεγέντα δείγματα μὴ προσφερομένων πρὸς τοῦτο, καὶ ἐπειδὴ τὰ δεδομένα ἐπὶ τῶν ἀλκαλιοῦχων ἀμφιβόλων εἰναι ἔλλιπτη, διὰ τινα μάλιστα μέλη λίαν ἔλλιπτη, διὰ τοῦτο θεωροῦμεν ἀναγκαῖον νὰ μὴν ἀποφανθῶμεν ὑπὸ τὰς προϋποθέσεις αὐτὰς διὰ τὸ εἶδος ἢ τὰ εἶδη τῶν ὄρυκτῶν τούτων. Ἀναφέρεται ὅτι (6, 7, 8, 9)¹ παρατηροῦνται μεγάλαι διακυμάνσεις εἰς τὰ διπτικὰ στοιχεῖα τῶν διαφόρων μελῶν τῆς κατηγορίας ταύτης τῶν ὄρυκτῶν, ὅπερ καθιστᾷ ἔξαιρετικῶς λεπτὸν τὸ ζήτημα τοῦ προσδιορισμοῦ των. Δίδομεν ὅμως τὰ στοιχεῖα ἀτινα κατωρθώσαμεν νὰ προσδιορίσωμεν εἰς τινας τομάς, τῶν μετρήσεων γενομένων διὰ τῆς στρεπτῆς τραπέζης. Ἡ γωνία 2ν κυμαίνεται μεταξὺ +52° καὶ +68°, ὁ πγ σχηματίζει μὲ τὸν C γωνίαν 15°-20° (ἐντὸς τῆς δέξιας (;) γωνίας β), ἡ γωνία C:πm κυμαίνεται μεταξὺ 70°-75°, ἡ δὲ γωνία C:πr εἰναι 90°. Θλαστικότης δλίγον μεγαλυτέρα τῆς τοῦ γλαυκοφανοῦς, ἡ διπλοθλαστικότης εἰναι χαμηλὴ (πρασινότεφρον ἔως πρασινομέλαν I τάξεως), τὸ δὲ χρῶμα τοῦ ὄρυκτου, τὸ ὅποιον σημειωτέον ἐμποδίζει ὡς καὶ ἡ χαμηλὴ διπλοθλαστικότης τὸν ἀκριβῆ προσδιορισμὸν τῶν διπτικῶν στοιχείων, εἰναι κατὰ τὸν a ὑποκίτρινον πράσινον, κατὰ τὸν b ἀνοικτὸν ἵδες πρασινίζον καὶ κατὰ τὸν c βαθὺ κυανοῦν μὲ πρασίνην ἀπόχρωσιν.

* G. PARASKEVOPoulos, Sur la structure et la formation des schistes micacés à amphiboles sodiques du terrain métamorphique à l'ouest de Malvoisie (presqu'île de Maléa, Laconie, Grèce).

¹ Οἱ ἀριθμοὶ ἀναφέρονται εἰς τὴν βιβλιογραφίαν.

Αἱ ἀνωτέρω σχέσεις τοῦ C πρὸς τοὺς ἀξόνας τοῦ ἐλλειψοειδοῦς τῶν δεικτῶν, σημαίνει ὅτι ὁ b ταυτίζεται μὲ τὸν np, τὸ δὲ ἐπίπεδον τῶν ὀπτικῶν ἀξόνων εἶναι κάθετον πρὸς τὸ g¹ (010), τῶν n_m καὶ n_g κειμένων βέβαιως ἐπὶ τοῦ g¹ (010).



Σχ. 1

Καθὼς καὶ ἀνωτέρω σημειοῦμεν, τὰ διδόμενα ἔνταῦθα στοιχεῖα ἀνάγονται εἰς ὡρισμένας μόνον τομάς· δὲν εἴμεθα συνεπῶς βέβαιοι ἐὰν τοῦτο πρέπῃ νὰ θεωρηθῇ ὡς γενικὸν ἀποτέλεσμα· ἀναφέρεται καὶ προηγουμένως ὅτι εἰς τὰ διάφορα μέλη τῶν ἀλκαλιούχων ἀμφιβόλων ἔχουν παρατηρηθῆ μεγάλαι διακυμάνσεις εἰς τὰ ὀπτικὰ αὐτῶν στοιχεῖα. Κυανοπράσινοι ἵωδίζουσαι ἀμφιβόλοι συναντῶνται εὐρέως καὶ εἰς τὸ Αἰγαῖον (Lacroix, Köhne, Παπαβασιλείου, Μαρτίνος κτλ.).

II. ΙΣΤΟΣ

Μακροσκοπικῶς οἱ μαρμαρυγιακοὶ σχιστόλιθοι δεικνύουν συχνότατα διάταξιν τῶν ὄρυκτολογικῶν συστατικῶν κατὰ ἐναλλασσομένας σκοτεινοχρώμους καὶ ἀνοικτοχρώμους ταινίας (Zeilenstruktur): αἱ ἀνοικτόχρωμοι ταινίαι ἀποτελοῦνται ἀπὸ χαλαζίων, αἱ σκοτεινόχρωμοι ἀπὸ μοσχοβίτην καὶ ἀμφιβόλους, οἱ δὲ γρανάται εἶναι παρενεπαρμένοι συνηθέστερον ἔντὸς τῶν χαλαζιακῶν ταινιῶν, σπανιώτερον δὲ ἐμφανίζονται ἀποτελοῦντες καὶ αὐτοὶ σχεδὸν αὐτοτελεῖς ταινίας. Ή τοιαύτη διάταξις τῶν ὄρυκτολογικῶν συστατικῶν ὁδηγεῖ εἰς τὸ συμπέρασμα ὅτι κατὰ τὴν δημιουργίαν τοῦ ιστοῦ τοῦ πετρώματος ἡ δλίσθησις τῶν κόκκων τοῦ χαλαζίου, ἡ ὁποία καὶ μᾶς ἐνδιαφέρει κυρίως, ἐγένετο ἐπὶ μιᾶς μόνον, ἐπιφανείας (Scherfläche, Gleitfläche), ἥτις εἶναι

καὶ τὸ ἐπίπεδον σχιστότητος τοῦ πετρώματος (1 σ. 289, 16 σ. 202). Εἰς τομὰς παραλλήλους πρὸς τὴν σχιστότητα, οἱ χαλαζίαι δὲν δεικνύουν πάρα πολὺ μεγάλην διαφορὰν τῶν διαστάσεων κατὰ μῆκος τῶν τεκτονικῶν ἀξόνων α (μεγαλυτέρα ἐπιμήκυνσις) καὶ β' εἰς τομὰς ὅμως καθέτους πρὸς τὴν σχιστότητα καὶ κατὰ μῆκος τοῦ α ἢ β, ἡ ἐπιμήκυνσις κατὰ τὸν α δύναται νὰ φάνη τὸ τετραπλάσιον τοῦ πάχους (διάστασις κατὰ τὸν β), ἐνῷ ἡ ἐπιμήκυνσις κατὰ τὸν β δὲν ὑπερβαίνει τὸ τριπλάσιον τοῦ πάχους, συχνὰ δὲ ἔχει σχέσιν πρὸς αὐτὸν 1, 2 : 1 (εἰκ. 1 καὶ 2).

Ο μοσχοβίτης ἔχει λάβει τοιαύτην διάταξιν, ὥστε τοποθετεῖ συνήθως τὸν κρυσταλλογραφικὸν αὐτοῦ ἄξονα α παραλλήλως πρὸς τὸν τεκτονικὸν ἄξονα α, ἐνῷ αἱ ἀμφίβολοι, καὶ τοῦτο ἰδιαιτέρως δύναται νὰ λεχθῇ διὰ τὸν γλαυκοφανῆ ὅστις δεικνύει πάντοτε ἐπιμήκυνσιν κατὰ τὸν κρυσταλλ. ἄξονα C, πρᾶγμα ποὺ δὲν ἀπαντᾶται συχνὰ εἰς τὰς κυανοπρασίνας ἀμφιβόλους, τοποθετοῦν τὸν C συνηθέστερον παραλλήλως πρὸς τὸν τεκτ. ἄξονα α, σπανιώτερον δὲ παραλλήλως πρὸς τὸν β.

Προσθέτομεν ἐπίσης ὅτι ὁ χαλαζίας παρουσιάζει συχνὰ κυματοειδῆ κατάσβεστιν, ἰδιαιτέρως εἰς τομὰς παραλλήλους πρὸς τὴν σχιστότητα, ἐνῷ ἀφ' ἐτέρου φαινόμενα κατακλάσεως ἐν γένει εἶναι σπάνια.

Τὸ διάγραμμα τῶν πόλων τοῦ (001) τοῦ μοσχοβίτου (σχισμὸς) εἰς τομὴν παραλλήλων πρὸς τὸ ἐπίπεδον τῶν τεκτονικῶν ἀξόνων α καὶ C, δεικνύει συγκέντρωσιν αὐτῶν περὶ τὸν C μὲ μέσην ἀπόστασιν 80° ἀπὸ τὸν β καὶ συμμετρικὴν περίπου διάταξιν ὡς πρὸς τὸ ἐπίπεδον (bc) (σχ. 2). Η διάταξις αὕτη τοῦ μοσχοβίτου (Formregelung) ὑποθέτει μεταμόρφωσιν εἰς πολὺ προκεχωρημένον σημεῖον, δὲν μᾶς παρέχει ὅμως συγχρόνως καὶ τὴν βεβαίότητα ὅτι ἡ μεταμόρφωσις ἔλαβε χώραν ἀποκλειστικῶς εἰς ἐν στάδιον· εἶναι γνωστὸν ὅτι δικτήρησις προϋπαρχούσης σχιστότητος κατὰ νέαν μεταμόρφωσιν εἶναι φαινόμενον οὐχὶ σπάνιον (1, 16).

Οσον ἀφορᾷ εἰς τὴν κατανομὴν τῶν ὀπτικῶν ἀξόνων τοῦ χαλαζίου, τὸ διάγραμμα αὐτῶν εἰς τομὴν (ac) (σχ. 3), ἡτις παριστᾶ καὶ τὸ ἐπίπεδον προβολῆς ὃ δὲ ο δίδει συγχρόνως καὶ τὴν θέσιν τοῦ ἐπιπέδου σχιστότητος ἐπὶ τῆς τομῆς, ἐμφανίζει τοὺς ὀπτικοὺς ἄξονας ἐντοπισμένους εἰς δύο περιοχὰς ἐκατέρωθεν τοῦ α ἐκτεινομένας. Παρουσιάζονται τὰ ἔξης μέγιστα:

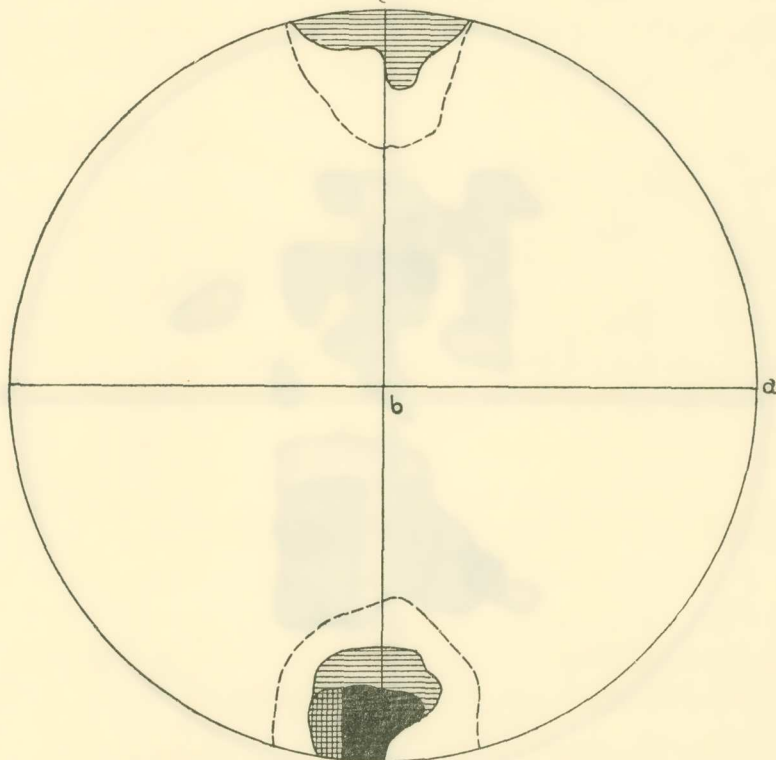
Εἰς τὴν ἄνω τοῦ α περιοχήν, καὶ εἰς ἀπόστασιν $30^{\circ}-45^{\circ}$ ἀπὸ τοῦ σημερινοῦ, ἐν μὲ πυκνότητα $> 40\%_{\text{oo}}$ καὶ ἐν μὲ πυκνότητα $30-40\%_{\text{oo}}$.

Εἰς τὴν κάτωθεν τοῦ α περιοχήν, ἐν ἀριστερὰ τοῦ C μεταξὺ τῶν μεσημβρινῶν 26° καὶ 41° μὲ πυκνότητα $30-40\%_{\text{oo}}$ καὶ εἰς ἀπόστασιν $40^{\circ}-50^{\circ}$ ἀπὸ τοῦ ἰσημερινοῦ, καὶ ἐν δεξιὰ τοῦ C μεταξὺ τῶν μεσημβρινῶν $25^{\circ}-40^{\circ}$ μὲ πυκνότητα $30-40\%_{\text{oo}}$ καὶ εἰς ἀπόστασιν $30^{\circ}-40^{\circ}$ ἀπὸ τοῦ ἰσημερινοῦ.

Μεταξὺ τῶν πυκνοτήτων $40\%_{\text{oo}}$ καὶ $30-40\%_{\text{oo}}$ δὲν παρατηρεῖται ἐνταῦθα με-

γάλη διαφορά, συνεπώς δυνάμεθα νὰ εἰπωμεν ὅτι προσεγγίζεται ἡ ρομβικὴ συμμετρία ἀναφορικῶς πρὸς τοὺς τεκτονικοὺς ἀξονας ὅχι μόνον ὡς πρὸς τὴν διάταξιν τῶν C-ἀξόνων τοῦ χαλαζίου ἐν γένει, ἀλλὰ καὶ ὡς πρὸς τὰ μέγιστα τῆς πυκνότητος αὗτῶν.

"Ἄς ἀναζητήσωμεν ἥδη ἐκ τοῦ διαγράμματος τὸν τρόπον καθ' ὃν ἐγένετο



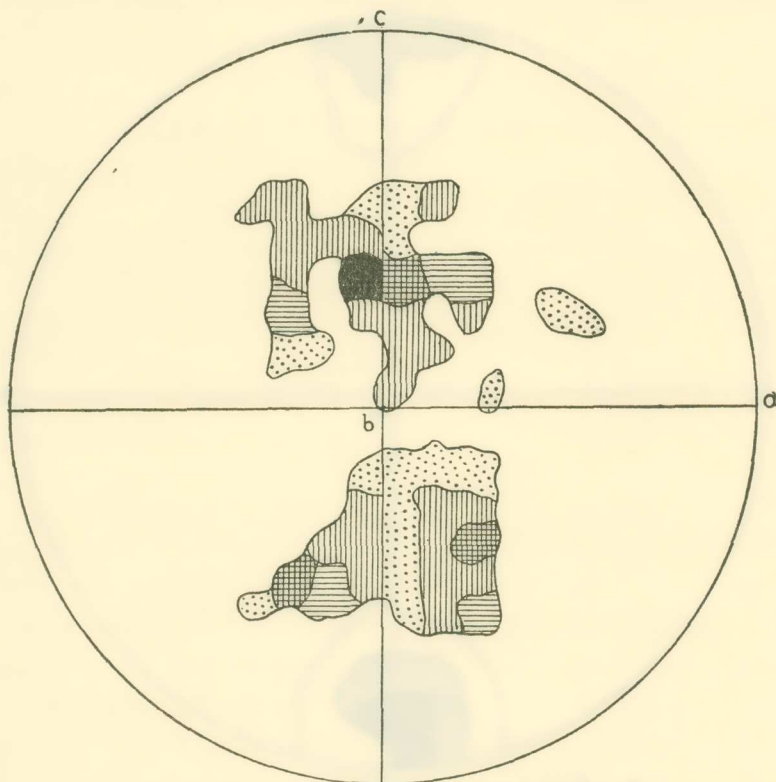
Σχεδιάγραμμα τῶν πόλων τοῦ (001)
τοῦ μοσχοδίτου εἰς τομήν (ac)

	0 - 1,5%		4,5 - 7,5%	Όρια ἐμφανίσεως πόλων
	1,5 - 4,5%		> 7,5%	

Σχ. 2

ἡ τοποθέτησις τῶν κόκκων τοῦ χαλαζίου. Εἶναι γνωστὸν ἐκ τῶν ἔρευνῶν ἐπὶ τῆς δομῆς ὅτι ὁ χαλαζίας παρουσιάζει ὡς ἔδρας ὀλισθήσεως (Translationsflächen) τὰς (0001), (1010) καὶ (1011), ὡς κατευθύνσεις δὲ ὀλισθήσεως (Translationsrichtungen) τὰς [2110], [0001] καὶ [2113] (1 σ. 303, 15 σ. 335). Εἰς τὴν προκειμένην περίπτωσιν ὅπου τὸ ἐπίπεδον (ab) παριστᾶ κατὰ τ' ἀνωτέρω τὴν ἐπιφάνειαν ὀλισθήσεως, ὁ δὲ ἀξωνας αὐτῆς πρὸς τὴν ὁποίαν ταυτίζεται ἐκάστοτε ἡ διεύθυνσις ὀλι-

συμήσεως τῶν κόκκων τοῦ χαλαζίου, παρουσίᾳ μεγίστων μὲ κλίσιν κατὰ μέσον ὅρον 40° πρὸς τὸν ίσημερινὸν (ἐπιφάνεια ὀλισθήσεως), ἀποκλείει ὀλίσθησιν κατὰ (0001) ἢ ($10\bar{1}0$). Μέγιστα μὲ τοιαύτην κλίσιν μόνον δι' ὀλισθήσεως κατὰ ἔδρας ρομβοέδρου δύνανται νὰ προκύψουν ὁ W. Schmidt ἀναφέρει ὅτι ὀλίσθησις κατὰ ($10\bar{1}\bar{1}$) μὲ διεύθυνσιν ὀλισθήσεως τὴν [$2\bar{1}\bar{1}0$], ἃ γει εἰς συσσώρευσιν τῶν c-ἀξόνων τοῦ χαλαζίου



Κατανομὴ τῶν ὀπτικῶν ἀξόνων τοῦ χαλαζίου εἰς τομὴν (αc)

	0 - 5%		5 - 10%		10 - 20%
	20 - 30%		30 - 40%		> 40%

Σχ. 3

εἰς κύκλον πλάτους 38° (15 σ. 335). Θεωρητικῶς ὀλίσθησις κατὰ ἔδραν γενικῶς θεμελιώδους ρομβοέδρου, θὰ ἔδιδε κατανομὴν τῶν ὀπτικῶν ἀξόνων τοῦ χαλαζίου εἰς κύκλον πλάτους $38^{\circ} 13'$, ὅση ἀκριβῶς εἶναι ἡ γωνία (τῶν πόλων) ($10\bar{1}0$): ($10\bar{1}\bar{1}$). ἡ θέσις αὐτῶν ἐπὶ τοῦ κύκλου πλάτους θὰ ἔξαρτηθῇ ἀπὸ τὴν κατεύθυνσιν ὀλισθήσεως.

Ἡ παρουσίᾳ τῶν δύο μεγίστων κάτωθεν τοῦ ἐπιπέδου (ab), εὑρισκομένων εἰς

σημαντικήν ἀπόστασιν ἀπὸ τοῦ c, ἐγγύτατα τοῦ ὁποίου τοποθετοῦνται τὰ δύο ἄνωθεν τοῦ (ab) μέγιστα, ὅδηγει εἰς τὴν ἐκδοχὴν ὅτι αἱ κατευθύνσεις ὀλισθήσεως ἥσαν διάφοροι. Τὰ δύο μέγιστα ἄνωθεν τοῦ ἰσημερινοῦ τ' ἀποδίδομεν εἰς ὀλίσθησιν κατὰ [2110], διότι ἡ συνταύτησις τῆς [2110] μὲ τὸν τεκτ. ἀξονα τοποθετεῖ τὸν ὀπτικὸν ἀξονα τοῦ χαλαζίου εἰς τὸ ἐπίπεδον (bc), καὶ συνεπῶς θεωρητικῶς εἰς τὴν τομὴν τοῦ (bc) μετὰ τοῦ κύκλου πλάτους $38^{\circ} 13'$ θὰ παρατηρηται συσώρευσις c - ἀξόνων.

Τὰ δύο μέγιστα κάτωθεν τοῦ ἰσημερινοῦ, ἐκ τῶν ὁποίων, ὡς εἴπομεν, τὸ μὲν δεξιὰ τοῦ (bc) εὑρίσκεται μεταξὺ τῶν μεσημβρινῶν 25° καὶ 40° , τὸ δὲ ἀριστερὰ τοῦ (bc) μεταξὺ τῶν μεσημβρινῶν 26° καὶ 41° , θὰ πρέπη νὰ ὀφείλωνται εἰς ὀλίσθησιν κατὰ [2113], διότι τοποθέτησις τῆς [2113] παραλλήλως πρὸς τὸν a ἀπομακρύνει, ισχυρῶς τὸν ὀπτικὸν ἀξονα τοῦ χαλαζίου ἀπὸ τοῦ μεσημβρινοῦ 0° [ἐπίπεδον (bc)]. Ἡ [2113] εἶναι ἡ ζώνη τῶν (0110) καὶ (1101) (9,17), ἀνήκει ὅμως εἰς τὴν ζώνην ταύτην καὶ ἡ (1011) τοῦ (—) ρομβοέδρου καὶ πιθανὸν δι' αὐτὸν τὸν λόγον ὁ Escola (1 σ. 303) τὴν δνομάζει ἀκμὴν ρομβοέδρου.

"Ἄς εἴδωμεν ἦδη εἰς ποίαν κατηγορίαν τεκτονιτῶν δέον νὰ τοποθετηθοῦν οἱ ἐν ἔρευνη μαρμαρυγιακοὶ σχιστόλιθοι. Τὸ γεγονός ὅτι ἡ ὀλίσθησις ἔλαβε χώραν ἐπὶ μιᾶς μόνον ἐπιφανείας, μᾶς λέγει ὅτι ἡ περίπτωσις ζωνοτεκτονίτου (Gürteltektonit), ἐλὰ δὲν πρέπη ν' ἀποκλεισθῇ τελείως, ὡς συμβαίνει συνήθως εἰς τὴν περίπτωσιν ταύτην (16), παρουσιάζει ἔλαχίστας πιθανότητας. Ἀλλὰ καὶ ὁ ἐντοπισμὸς τῶν c-ἀξόνων εἰς δύο περιοχὰς κεχωρισμένας ἀπ' ἀλλήλων καὶ περιωρισμένας ἀρκετὰ κατὰ μῆκος (διεύθυνσις c) δὲν συνηγορεῖ δι' ἐμφάνισιν περιπτώσεως ζωτοτεκτονίτου. Μία τοιαύτη ἐκδοχὴ θὰ μᾶς ἡγάγκαζε νὰ δεχθῶμεν περιστροφὴν (Rotation) κυρίως περὶ τὸν a, πρᾶγμα σπανιώτερον (1. σ. 300) καὶ δευτερεύοντας, λόγῳ τῆς μικροτέρας εὐρύνσεως παραλλήλως πρὸς τὸν a, περὶ τὸν b, ἥτοι ἐν συνόλῳ μίαν οὐχὶ ἐπίπεδον μετα(παρα)-μόρφωσιν (nichtebene Verformung) ἀλλὰ τριδιάστατον, ἥ τούλαχιστον δύο ἐπιπέδους μὲ ἐναλλάξ ὡς μεγαλύτερον ἀξονα τοῦ ἐλλειψειδοῦς μετα(παρα)μορφώσεως τὸν b καὶ τὸν a' μία τοιαύτη ὅμως ὑπόθεσις δὲν φαίνεται πιθανή, διότι ὁ χαλαζίας παρουσιάζει διαφορὰν ἔκτάσεως κατὰ τὸν a καὶ τὸν b, ἐνῷ τριδιάστατος μετα(παρα)-μόρφωσις ἥ μετ' ἐναλλαγῆς τῶν ἀξόνων περιστροφῆς συνοδευομένη τοιαύτη συνήθως δὲν ἐμφανίζει τὸ τοιοῦτον ἀρκετὰ καταφανῶς.

Λόγῳ τῆς κατὰ ἔδραν ρομβοέδρου ὀλισθήσεως τῶν κόκκων τοῦ χαλαζίου καὶ δὴ μὲ συμμετοχὴν ταυτοχρόνως διαφόρων διευθύνσεων ὀλισθήσεως, τῶν [2110] καὶ [2113], εἶναι φανερὸν ὅτι καίτοι ἡ ὀλίσθησις ἔλαβε χώραν ἐπὶ μιᾶς μόνον ἐπιφανείας δὲν ἔτο δυνατόν οὔτε ἔνα μόνον μέγιστον νὰ λάβωμεν οὔτε καὶ ν' ἀποφύγωμεν κατανομὴν c-ἀξόνων μικροτέρας πυκνότητος εἰς ἀρκετὴν ἔκτασιν πέριξ τῶν μεγίστων.

Τὸ συμπέρασμα λοιπὸν εἶναι ὅτι ἐν τῷ συνόλῳ του τὸ διάγραμμα μὲ τοὺς δύο

σαφεῖς καὶ ἀρκετὰ περιωρισμένους προσανατολισμοὺς τῶν ὄπτικῶν ἀξόνων, ἀποκλείει περίπτωσιν περιστροφῆς καὶ ἐπιτρέπει συνεπῶς νὰ ταξινομήσωμεν τὸ πέτρωμα εἰς τοὺς s-τεκτονίτας, καθὼς ἀλλωστε καὶ ἡ λοιπὴ ἔξτασις τοῦ πετρώματος συνηγορεῖ.

Κατὰ τὸν W. Schmidt ἡ ἐμφάνισις ταινιωτοῦ ἴστοῦ (Zeilenstructur) δὲν συνηγορεῖ ἀπὸ θεωρητικῆς πλευρᾶς εἰς τὸ νὰ δεχθῶμεν ὅτι ἡ πλάτυνσις (Plättung), ὑπὸ τὴν ἔννοιαν ποὺ δίδει ὁ Sander (1 σ. 300), ἔπαιξε πρωτεύοντα ρόλον εἰς τὴν δημιουργίαν αὐτοῦ τοῦ s-τεκτονίτου. Οὗτος (ὁ W. Schmidt) λέγει διὰ τὸν ἴστον τοῦτον, ἡ τὴν ὑφήν, ὅπως ἀλλοι λέγουν, ὅτι εἴναι ἀποτέλεσμα στατικῆς μόνον δράσεως καὶ δὴ μεγάλης διαρκείας (16 σ. 202). πιθανὸν ὅμως νὰ δίδῃ ἰδιαιτέρων ἔννοιαν εἰς τὸν ὄρον «στατικὴ δράσις», διότι ἀλλαχοῦ (16 σ. 18, 59) διὰ τὴν ἰδίαν περίπτωσιν ὅμιλει καὶ περὶ δυναμικῆς πιέσεως. Ο Escola (1 σ. 307, 331, 406, 407) διὰ τὴν ἰδίαν περίπτωσιν ὅμιλει συγχρόνως καὶ περὶ μηχανικῆς δράσεως. Ήμεῖς περιορίζόμεθα μόνον εἰς τὸ νὰ σημειώσωμεν, ὡς ἀλλωστε καὶ εἰς τὴν ἀρχὴν ἀναφέρομεν, ὅτι ἡ κυματοειδὴς κατάσβεσις τοῦ χαλαζίου εἴναι λίαν διαδεδομένη, ὅπερ ὑποθέτει δρᾶσιν δυναμικήν· βεβαίως ἀναφέρονται καὶ περιπτώσεις (1 σ. 282) ὅπου τὸ φαινόμενον τοῦτο ἀποδίδεται εἰς ἀλλα αἰτια, ἡ γενικωτέρα ὅμως περίπτωσις εἴναι ὅτι τοῦτο εἴναι ἀποτέλεσμα δυναμικῆς πιέσεως.

III. ΧΗΜΙΣΜΟΣ — ΓΕΝΕΣΙΣ

Ἡ χημικὴ σύστασις τυπικοῦ δείγματος ἐκ τῶν μετὰ νατριούχων ἀμφιβόλων μαρμαρυγιακῶν σχιστολίθων, δίδεται διὰ τῆς ὑπ' ἀριθ. 1 χημικῆς ἀναλύσεως, ἐνῷ ἡ ὑπ' ἀριθ. 2 χημικὴ ἀνάλυσις ἀναφέρεται εἰς μαρμαρυγιακὸν σχιστόλιθον τῆς ἰδίας περιοχῆς ἀλλὰ ἀνεύ ἀμφιβόλων καὶ μὲ περίσσειαν χαλαζίου (αἱ ἀναλύσεις ἐγένοντο ἀπὸ τὸν κ. Θ. Μουραμπᾶν).

	1	2
- H ₂ O	0,10	0,10
+ H ₂ O	0,58	0,60
CO ₂	—	—
SiO ₂	69,42	90,30
TiO ₂	0,54	0,40
Fe ₂ O ₃	1,03	0,15
FeO	3,95	0,82
Al ₂ O ₃	15,00	5,32
MnO	0,04	0,09
CaO	0,98	1,54
MgO	2,08	0,57
K ₂ O	2,15	—
Na ₂ O	4,03	—
P ₂ O ₅	0,05	0,02
	99,95	99,91

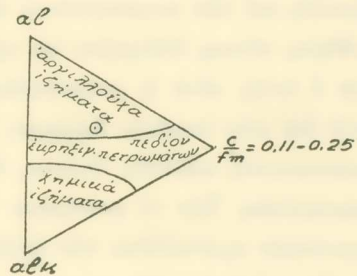
Τὸ χαρακτηριστικὸν τῆς χημικῆς συστάσεως τῶν μελετηθέντων μαρμαρυγιακῶν σχιστολίθων εἶναι ἡ σημαντικὴ περιεκτικότης εἰς Na_2O τὰ ἀλκαλια ἐδέσμευσαν τὸ μέγιστον μέρος τοῦ Al_2O_3 πρὸς σχηματισμὸν τοῦ γλαυκοφανοῦς, τῶν κυανοπρασίνων ἀμφιβόλων καὶ τοῦ μοσχοβίτου, τὸ δὲ μικρὸν ὑπόλοιπον τοῦ Al_2O_3 διετέθη πρὸς σχηματισμὸν τοῦ γρανάτου.

Ο χημισμὸς κατὰ Niggli (ὑπ' ἀριθ. 1 ἀνάλυσις) εἶναι:

si	al	fm	c	alk	k	mg	c/fm	ti	p	εἰδ. βάρος
310,1	39,5	32,2	4,7	23,6	0,26	0,43	0,14	1,82	0,11	2,78

Ἡ διαφορὰ al-(alk + c) εὐρίσκεται ἐντός τῶν ὅρων διὰ τὰ ὄποια δὲν ἔχομεν σημαντικὴν ἐμφάνισιν ὀρυκτῶν ἀργιλλούχων, κατ' ἔξοχὴν χαρακτηριστικῶν τῶν παραπέτρωμάτων. Ἡ προβολὴ τοῦ πετρώματος εἰς τὴν τομὴν II ($c/fm = 0,11 - 0,25$), (σχ. 4), εὐρίσκεται εἰς τὰ ὅρια τοῦ τομέως τῶν ἀργιλλούχων ιζημάτων καὶ τοῦ πεδίου τῶν ἐκρηκτιγενῶν πετρωμάτων· τοῦτο δὲ ὀφείλεται εἰς τὴν ὑψηλὴν διὰ τοιοῦτο πέτρωμα τιμὴν τοῦ alk. Σημειοῦμεν ἐνταῦθα ὅτι ἐκρηκτιγενῆ πετρώματα τῶν ὄποιων αἱ τιμαὶ al καὶ alk κυμαίνονται πέριξ τῶν ἀντιστοίχων τιμῶν τοῦ ἐν λόγῳ πετρώματος, παρουσιάζουν τιμὴν si πολὺ μικροτέραν τοῦ 310,1, εἶναι δὲ τοῦτο χαρακτηριστικὸν τῆς ἐξ ιζημάτογενοῦ ὄλικοῦ καταγωγῆς τοῦ μαρμαρυγιακοῦ τούτου σχιστολίθου (2 σ. 73).

Ἡ δέσμευσις τοῦ Na τοῦ ἀρχικοῦ ιζήματος πρὸς γλαυκοφανῆ καὶ κυανοπρασίνας ἀμφιβόλους καὶ ὅχι πρὸς ἀλβίτην, ἡ καὶ μετατροπὴ ἀκόμῃ τυχὸν προϋπάρξαντος ἀλβιτικοῦ μορίου, προεκάλεσε μετατόπισιν τῆς φάσεως πρὸς περιοχὰς μεγαλυτέρας θερμοκρασίας· τοῦτο συμβαίνει, διότι ἐντὸς τοῦ πλαισίου τῆς πρασινοσχιστολιθικῆς φάσεως (Grünschieferfazies) ὅπου ἔνας μαρμαρυγιακὸς σχιστολίθος τῆς συστάσεως τῶν μελετηθέντων σχιστολίθων, ἐὰν βεβαίως δὲν λάβῃ τις ὑπ' ὅψιν τὴν παρουσίαν τῶν ἀμφιβόλων, θὰ ἔπειπε νὰ εὐρίσκεται, μόριον ἀμφιβόλου ἐν γένει δὲν εἶναι σταθερὸν (1 σ. 357). Καὶ ἡ γλαυκοφανιτικὴ φάσις καὶ ἡ ἐπιδοτοαμφιβολιτικὴ πρὸς τὴν ὄποιαν τείνει, χωρὶς ὅμως νὰ τὴν φθάσῃ, ὁ ὑπὸ ἔρευναν μαρμαρυγιακὸς σχιστόλιθος, ἀπαιτοῦν θερμοκρασίαν μεγαλυτέραν τῆς πρασινοσχιστολιθικῆς, ἵνα δημιουργηθῇ κατάστασις ισορροπίας· δέον συνεπῶς νὰ δεχθῇ μεν ὅτι τὸ ἀργιλλούχον ὄλικον, ἀπὸ τὸ ὄποιον προσῆλθε τὸ πέτρωμα τοῦτο, εὐρέθη ὑπὸ θερμοκρασίαν μεγαλυτέραν ἕκείνης ἥτις συνήθως ἐπικρατεῖ κατὰ τὴν μεταμόρφωσιν τοιούτου ὄλικοῦ πρὸς συνήθεις μαρμαρυγιακοὺς σχιστολίθους. Τὴν θερμοκρασίαν ταύτην θὰ ἡδύνατο τις ν' ἀναζητήσῃ βασιζόμενος εἰς τὸ εἶδος τῆς ἀμφιβόλου, καθ' ὅσον αἱ ἀμφιβόλοι



Σχ. 4

φαίνονται νὰ εἶναι εύπαθεῖς δεῖκται τῆς θερμοκρασίας, θὰ κατεῖχον δὲ τοιουτοτρόπως θέσιν γεωλογικοῦ θερμομέτρου ἐὰν ὑπῆρχον λεπτομερεῖς ἔρευναι ἐπ' αὐτῶν εἰς τὰς διαφόρους φάσεις (1 σ. 357).

Ἐκ τῆς μελέτης ἐμφανίσεων περιωρισμένου ἀριθμοῦ δὲν δυνάμεθα πάντοτε ν' ἀποφαινώμεθα διὰ τὴν σταθερότητα ἢ μὴ τῶν συνθηκῶν αἵτινες ἐπεκράτουν κατὰ τὴν μεταμόρφωσιν. Ἐπὶ τοῦ προκειμένου διὰ τῆς ἐξετάσεως μόνον τῆς ἔρευνηθείσης περιοχῆς δὲν δυνάμεθα ν' ἀποφανθῶμεν, ἐὰν τὸ ἀρχικὸν Ἱζημα εὐθὺς ἐξ ἀρχῆς εὑρέθη ὑπὸ θερμοκρασίαν μεγαλυτέρων τῆς παρατηρουμένης διὰ τὸν σχηματισμὸν συνήθων μαρμαρυγιακῶν σχιστολίθων, ἢ μᾶλλον, διὰ νὰ περιορίσωμεν τὰ πράγματα, ἐὰν εὐθὺς ἐξ ἀρχῆς εὑρέθη ἐν γένει ὑπὸ συνθήκας αἵτινες ἀπαιτοῦνται διὰ τὸν σχηματισμὸν τοῦ γλαυκοφανοῦς καὶ τῶν κυανοπρασίνων ἀμφιβόλων ἢ ἐὰν ἀργότερον ἐδημιουργήθησαν νέαι συνθῆκαι, αἵτινες ἐπέτρεψαν τὸν σχηματισμὸν τῶν ἀμφιβόλων τούτων, δεδομένου ὅτι οὕτε ὁ ἴστος οὕτε ἡ μακροσκοπικὴ ἐν γένει παρατήρησις μᾶς παρέσχον στοιχεῖα ἵκανὰ διὰ μίαν τοιαύτην διάκρισιν. Βεβαίως διὰ τὴν περιοχὴν ταύτην δὲν ἔσημειώθη μικροσκοπικῶς παρουσίᾳ ἀλβίτου, ὅστις, ὡς γνωστόν, εἶναι σταθερὸς καὶ διὰ χαμηλὰς θερμοκρασίας. Ἐὰν τὸ φαινόμενον τοῦτο ἦτο γενικὸν καὶ δι' ἄλλας ἐμφανίσεις μαρμαρυγιακῶν σχιστολίθων τῶν ἐγγὺς περιοχῶν, τότε τὸ πιθανώτερον συμπέρασμα θὰ ἦτο ὅτι ἀπ' ἀρχῆς τῆς μεταμορφώσεως ὑπῆρχον συνθῆκαι εύνοοσσαι τὸν σχηματισμὸν κυανῶν καὶ κυανοπρασίνων ἀμφιβόλων τοῦτο δὲ θὰ συνέβαινε, διότι παρ' ὅλον ὅτι ὁ γλαυκοφανῆς καὶ αἱ κυανοπράσιναι ἀμφίβολοι ἀποστεροῦν τὸ Na ἀπὸ τὸν ἀλβίτην, συνήθως παραμένει οὗτος εἰς μικρὰν ποσότητα ὡς πρωτογενὲς λείψανον, εύσταθης ὃν μέχρι καὶ εἰς πολὺν ὑψηλάς θερμοκρασίας. Ὁ Lepsius ὅμως ἀναφέρει διὰ τὴν κεντρικὴν Πελοπόννησον (4 σ. 128 - 130) ἐμφανίσεις μαρμαρυγιακῶν σχιστολίθων μὲ αστρίους καὶ μάλιστα περίπτωσιν συνυπάρξεως γλαυκοφανοῦς καὶ ἀστρίων· ἐπομένως ἡ ὑπόθεσις διὰ μεταμόρφωσιν εἰς μίαν μόνον φάσιν δὲν φαίνεται πιθανὴ τούλαχιστον εἰς κάπως εὔρυτέραν ἔκτασιν.

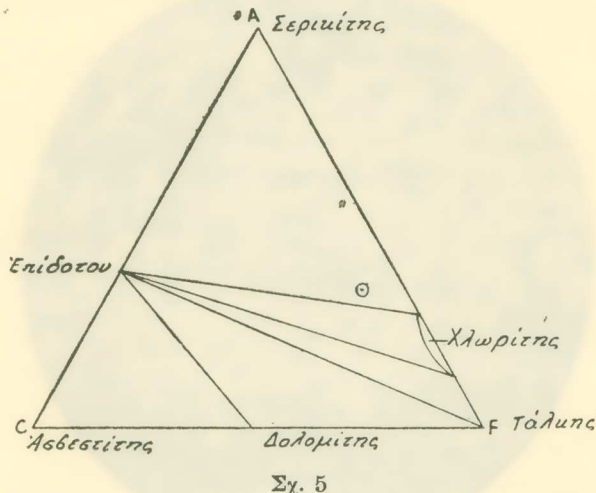
Ἡ μετατόπισις τῆς φάσεως πρὸς φάσιν ὑψηλοτέρας θερμοκρασίας, εἶχεν ὡς ἀποτέλεσμα καὶ τὴν ἀπομάκρυσιν ἐκ τῶν συνθετικῶν δεδομένων τῆς πρασινοσχιστολιθικῆς φάσεως. Παρέχομεν κατωτέρω τὴν θέσιν τοῦ πετρώματος εἰς τὸ διάγραμμα τῆς φάσεως ταύτης ($A=0,0659$ ἢ $34,81\%$, $C=0,0162$ ἢ $8,55\%$ καὶ $F=0,1072$ ἢ $56,62\%$) (σχ. 5). Προφανῶς ἡ σημαντικὴ διὰ μαρμαρυγιακὸν σχιστόλιθον ἀναλογία τοῦ Na_2O μειώνει τὴν τιμὴν τοῦ A καὶ τοιουτοτρόπως ἐμμέσως ἢ ἀναλογία τοῦ F αὐξάνεται.

Νομίζομεν λοιπὸν ὅτι ἡ κατηγορία τῶν μελετηθέντων μαρμαρυγιακῶν σχιστολίθων πρέπει νὰ τοποθετηθῇ εἰς τὴν πρασινοτειχὴν ὑποφάσιν (Prasinitfazies) (1 σ. 356) εἰς τὴν ὄποιαν ὁ ἀντιπρόσωπος τῶν ἀμφιβόλων εἶναι κυανοπρασίνη πλουσία

εἰς Να κεροστίλβη. Δυστυχῶς στερούμεθα πειραματικῶν δεδομένων ἐπὶ τῆς ὑποφάσεως ταύτης, καὶ ἐπομένως εἴναι ἀδύνατος καὶ ἡ περαιτέρω ἐπέκτασις. Σημειοῦμεν μόνον ὅτι καθ' ἒ αὐτούς εἰναι ἀναφέρει ὁ Escola (1 σ. 356), ὁ Cissarz καὶ οἱ Chudoba καὶ Obenauer περιέγραψαν περιπτώσεις μεταμορφώσεως ἀργιλλούχων ιζημάτων καθ' ἡς ἐσχηματίσθησαν ὄρυκτὰ λίαν συγγενῆ πρὸς ἐκεῖνα ποὺ σχηματίζονται κατὰ τὴν πρασινίτωσιν. Ἐπίσης ὁ ἴδιος συγγραφεὺς ἀναφέρει (1 σ. 368) ὅτι καὶ ὁ Wouno ἔξηρεύνησε πρασινίτας καὶ γλαυκοφανίτικὰ πετρώματα προελθόντα ἐξ ιζηματογενῶν πετρωμάτων καὶ ἡφαιστειτῶν διὰ κανονικῆς μεταμορφώσεως.

RÉSUMÉ

Des roches cristallophyliennes qui affleurent dans la région métamorphique située à l'ouest de Malvoisie, ont été étudiés les schistes micacés



à amphiboles sodiques. Ces schistes sont constitués du quartz, de la muscovite, de l'almandin, de la glaucophane et des amphiboles sodiques bleu-vert; on y constate accessoirement de la tourmaline, de l'apatite, du rutile, des oxydes de fer et des substances charbonneuses (graphite). Pour les amphiboles alcalines ont été données les propriétés optiques tirées de quelques sections qui permettaient des mesures sous le microscope (leur couleur et leur faible biréfringence empêchent les déterminations optiques).

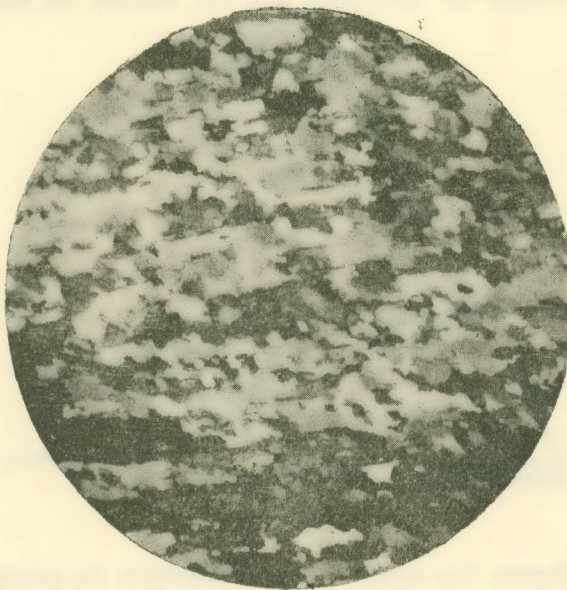
Ensuite est étudiée la structure des roches et il en est démontré que le glissement des grains du quartz a eu lieu sur une surface qui coïncide avec le plan de schistosité des micaschistes. L'auteur donne de même le diagramme des pôles de (001) de la muscovite et celui des axes optiques du quartz; de ce dernier diagramme résulte que le glissement du quartz s'est effectué selon les plans du rhomboèdre (1011), les directions du glissement

étant sur [2110] et [2113]. Plus bas ont été exposées les causes d'après lesquelles les schistes en question ont été classés, au point de vue de leur structure, dans les s-tektonites.

Enfin l'auteur s'occupe de la composition chimique des roches, des conditions qui régnaienr au cours du métamorphisme et il classe les roches dans le sous-faciès prasinitique.

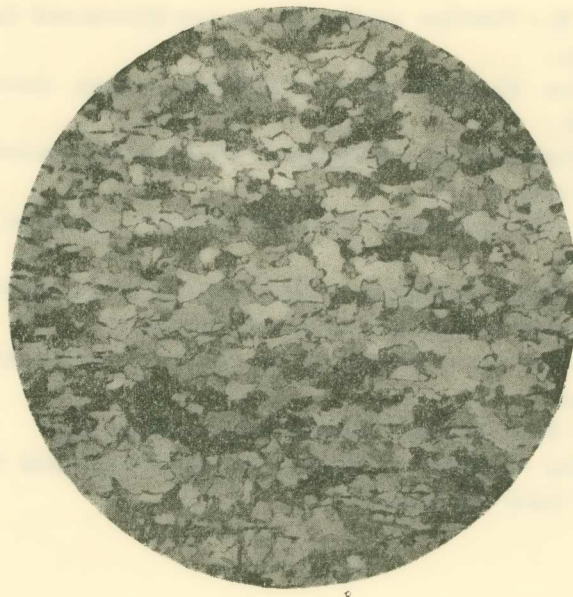
ΒΙΒΛΙΟΓΡΑΦΙΑ

1. BARTH W, CORRENS C, ESCOLA P. — Die Entstehung der Gesteine. Berlin, 1939.
2. GRUBENMANN U., NIGGLI P. — Gesteinsmetamorphose. I. Allgem. Teil, Berlin, 1924.
3. HINTZE CARL. — Handbuch der Mineralogie. Ergänzungsband. Neue Mineralien. Berlin und Leipzig 1938.



Εἰκ. 1.— Τομὴ (ac) ἀραικοχρόμου χαλαζιακῆς ταυρίας τοῦ πετρώματος. Nicols +. (X 44).

4. LEPSIUS R.— Geologie von Attika. Berlin 1893.
5. MARLAND BILLINGS.— Structural Geology. New York, 1942.
6. MURGOCHI G.— Sur la rhodusite et l'abriachanite. *C.R. de l'Académie des sciences*, 160 (1915), p. 631.
7. MURGOCHI G.— Sur les propriétés des amphiboles bleues. *C.R. de l'Académie des sciences* 175 (1922), p. 372.
8. MURGOCHI G.— Sur la classification des amphipoles bleues et des certaines hornblendes. *C. R. de l'Académie des sciences*, 175 (1922), p. 426.
9. NIGGLI P.— Lehrbuch der Mineralogie. Berlin 1926.



Εἰκ. 2.—*Toμή (bc) ἐπὶ τῆς αὐτῆς, ὡς ἡ εἰκὼν 1, ταυρίας.*
Nicol's + ($\times 44$).



Εἰκ. 3.—*Mικρὸς κρύσταλλος γλαυκοφαροῦς (εἰς τὸ κέντρον),*
ἐντὸς τοῦ ὅποίον συνεχίζεται ὁ σχισμός τῶν περιβαλλόντων
αὐτὸν κρυστάλλων τῶν κνανοπρασίνων ἀμφιβόλων.
Nicol's || ($\times 34$).

10. PHILIPSBORN H.— Tabellen zur Berechnung von Mineral- und Gesteinsanalysen, Leipzig 1933.
 11. SANDER B.— Zur Kinematik passiver Gefügeregelungen. *Zeitschr. für Krist.* 81 (1932), S. 298.
 12. SANDER B.— Fortschritte der Gefügekunde der Gesteine. *Fortschritte der Min. Krist. und Petr.* 18 (1934), S. 111.
 13. SCHMIDT W.— Gefügestatistik. *Tschermak's mineral. und petrol. Mitteilungen*, 38 (1925), S. 392.
 14. SCHMIDT W.— Untersuchungen über die Regelung des Quarzgefüges kristalliner Schiefer. *Fortschritte d. Min Krit und petr*, 11 (1927), S. 29.
 15. SCHMIDT W.— Zur Quarzgefügeregel. *Fortschritte der Mineral. Krist. und Petr.*, 11 (1927), S. 334.
 16. SCHMIDT W.— Tektonik und Verformungslehre. Berlin 1932.
 17. WEBER L.— Das viergliedrige Zonensymbol des hexagonales Systems. *Zeitsch. für Krist.*, 57 (1922 - 23), S. 200.
-